

**Zeitschrift:** Bericht der Eidgenössischen Kommission zur Überwachung der Radioaktivität

**Herausgeber:** Eidgenössische Kommission zur Überwachung der Radioaktivität

**Band:** 30 (1987-1988)

**Heft:** 2: Figuren & Tabellen

**Anhang:** [Figuren 4]

#### Nutzungsbedingungen

Die ETH-Bibliothek ist die Anbieterin der digitalisierten Zeitschriften auf E-Periodica. Sie besitzt keine Urheberrechte an den Zeitschriften und ist nicht verantwortlich für deren Inhalte. Die Rechte liegen in der Regel bei den Herausgebern beziehungsweise den externen Rechteinhabern. Das Veröffentlichen von Bildern in Print- und Online-Publikationen sowie auf Social Media-Kanälen oder Webseiten ist nur mit vorheriger Genehmigung der Rechteinhaber erlaubt. [Mehr erfahren](#)

#### Conditions d'utilisation

L'ETH Library est le fournisseur des revues numérisées. Elle ne détient aucun droit d'auteur sur les revues et n'est pas responsable de leur contenu. En règle générale, les droits sont détenus par les éditeurs ou les détenteurs de droits externes. La reproduction d'images dans des publications imprimées ou en ligne ainsi que sur des canaux de médias sociaux ou des sites web n'est autorisée qu'avec l'accord préalable des détenteurs des droits. [En savoir plus](#)

#### Terms of use

The ETH Library is the provider of the digitised journals. It does not own any copyrights to the journals and is not responsible for their content. The rights usually lie with the publishers or the external rights holders. Publishing images in print and online publications, as well as on social media channels or websites, is only permitted with the prior consent of the rights holders. [Find out more](#)

**Download PDF:** 24.08.2025

**ETH-Bibliothek Zürich, E-Periodica, <https://www.e-periodica.ch>**

Fig.4.1: Flüssige Abgaben der Kernanlagen:  
Abwasser (ohne Tritium) in Bq/Jahr

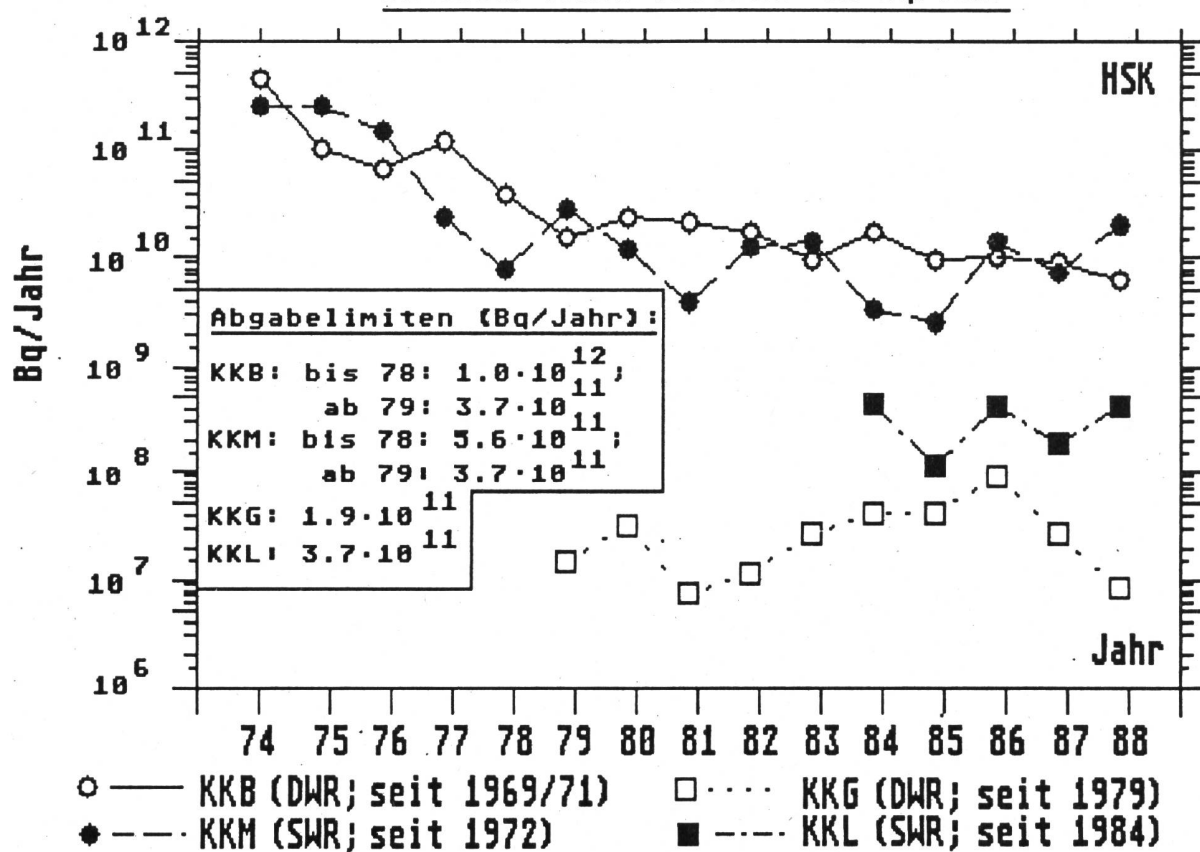
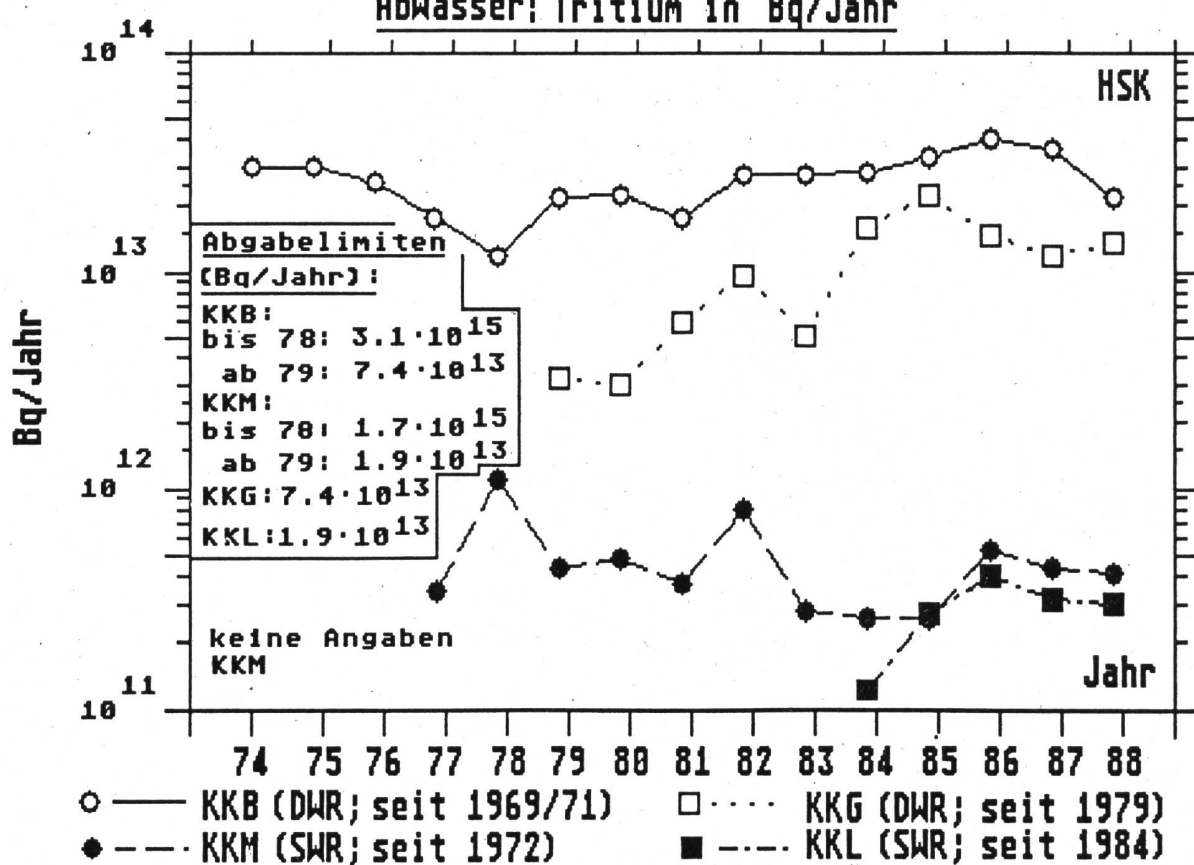
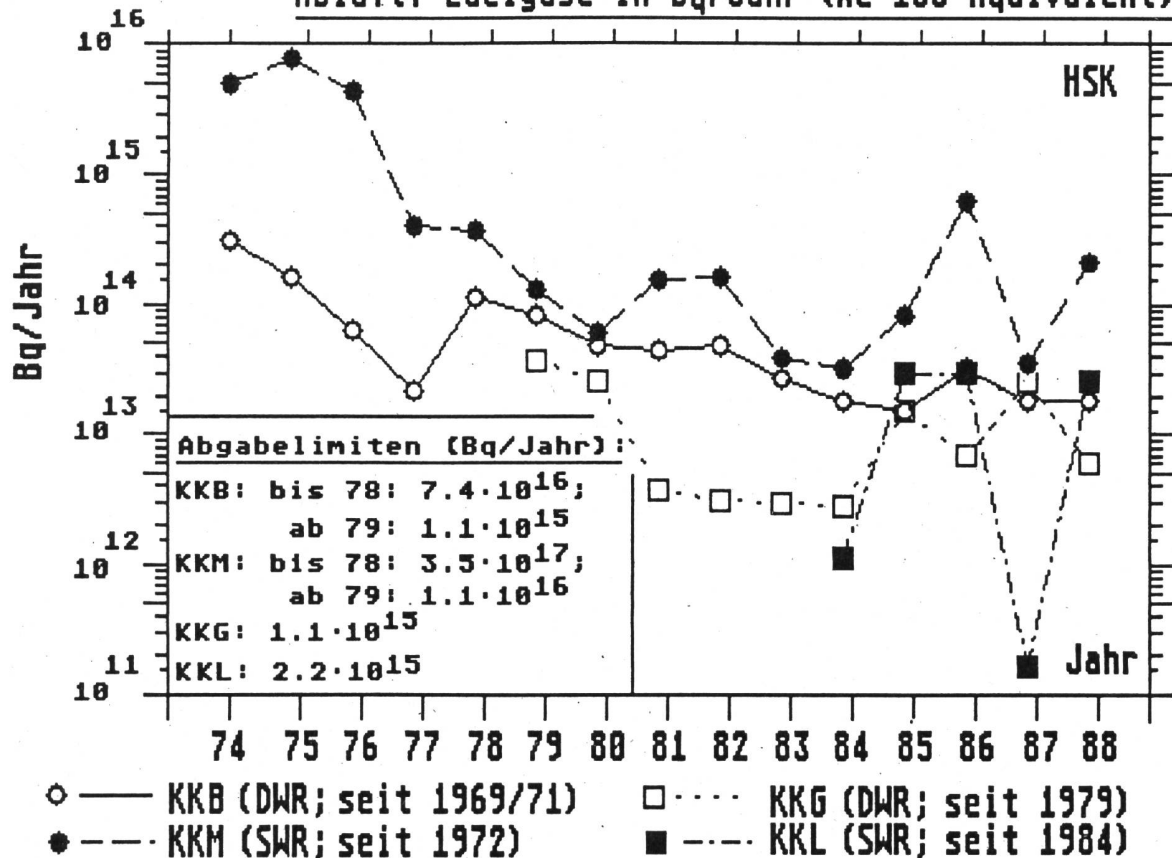


Fig.4.2: Flüssige Abgaben der Kernanlagen:  
Abwasser: Tritium in Bq/Jahr



**Fig.4.3: Gasförmige Abgaben der Kernanlagen:**  
**Abluft: Edelgase in Bq/Jahr (Xe-133-Äquivalent)**



**Fig.4.4: Gasförmige Abgaben der Kernanlagen:**  
**Aerosole (HWZ > 8d; ohne gasförmiges Jod) in Bq/Jahr**

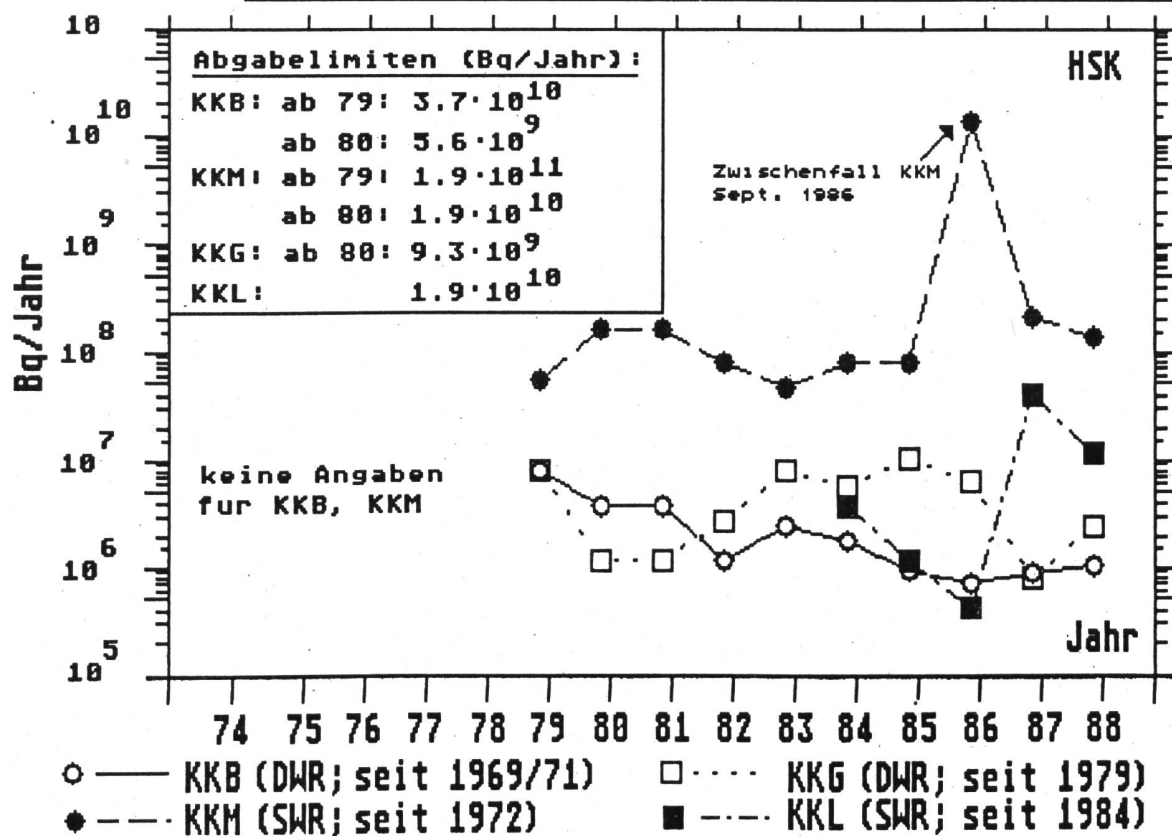


Fig. 4.5: Gasförmige Abgaben der Kernanlagen:  
Elementares Jod-131 in Bq/Jahr

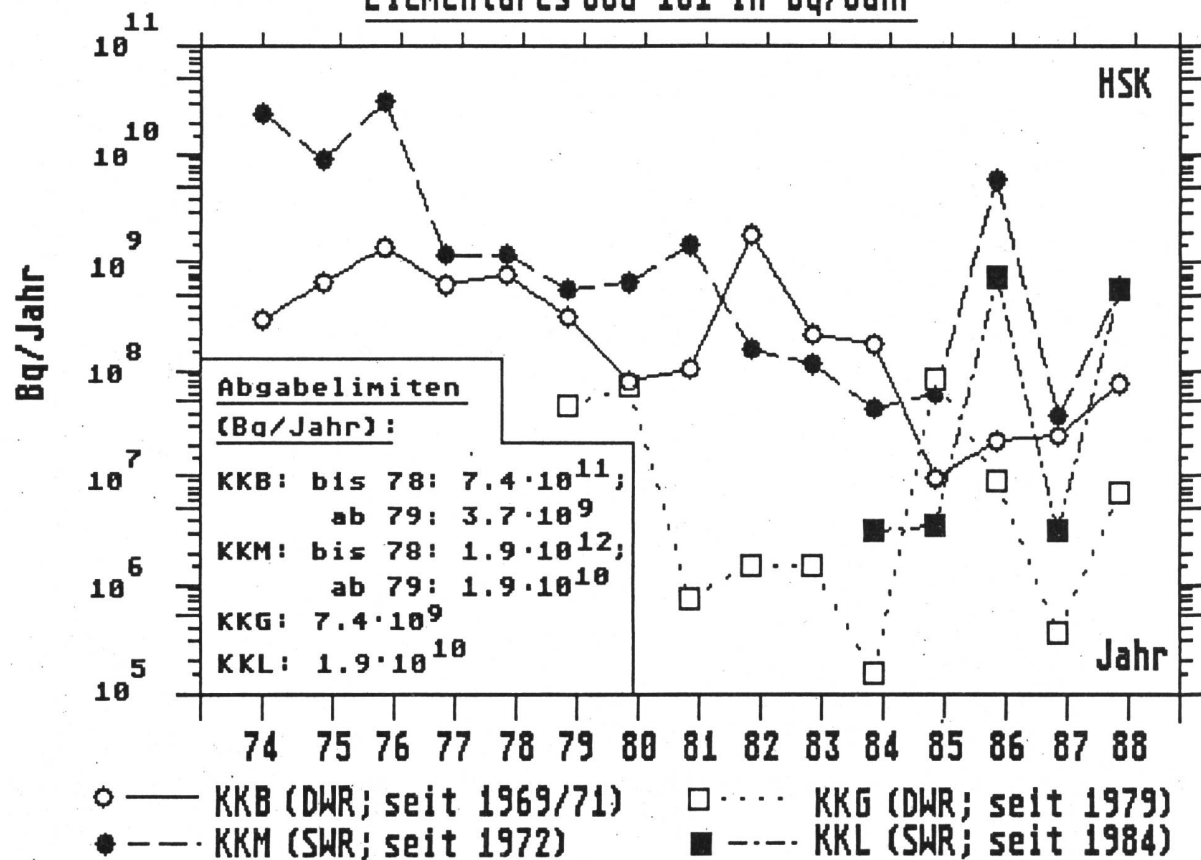


Fig. 4.6:  
Maximale jährliche Personen-Dosen in der Umgebung der KKW

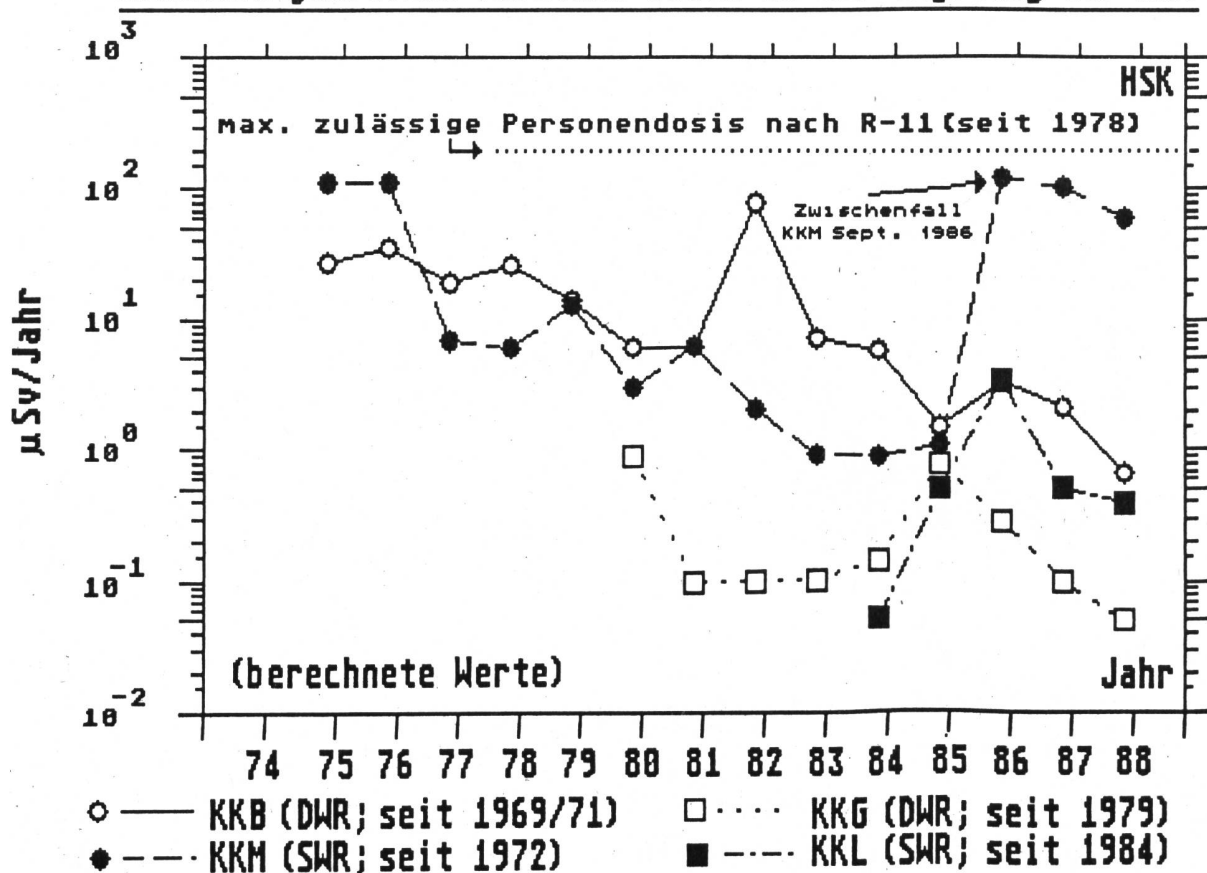


Fig. 4.7: Ortsdosisleistung gemessen mit  
Ionisationskammer UFEM HORN (UMGEBUNG KKM)

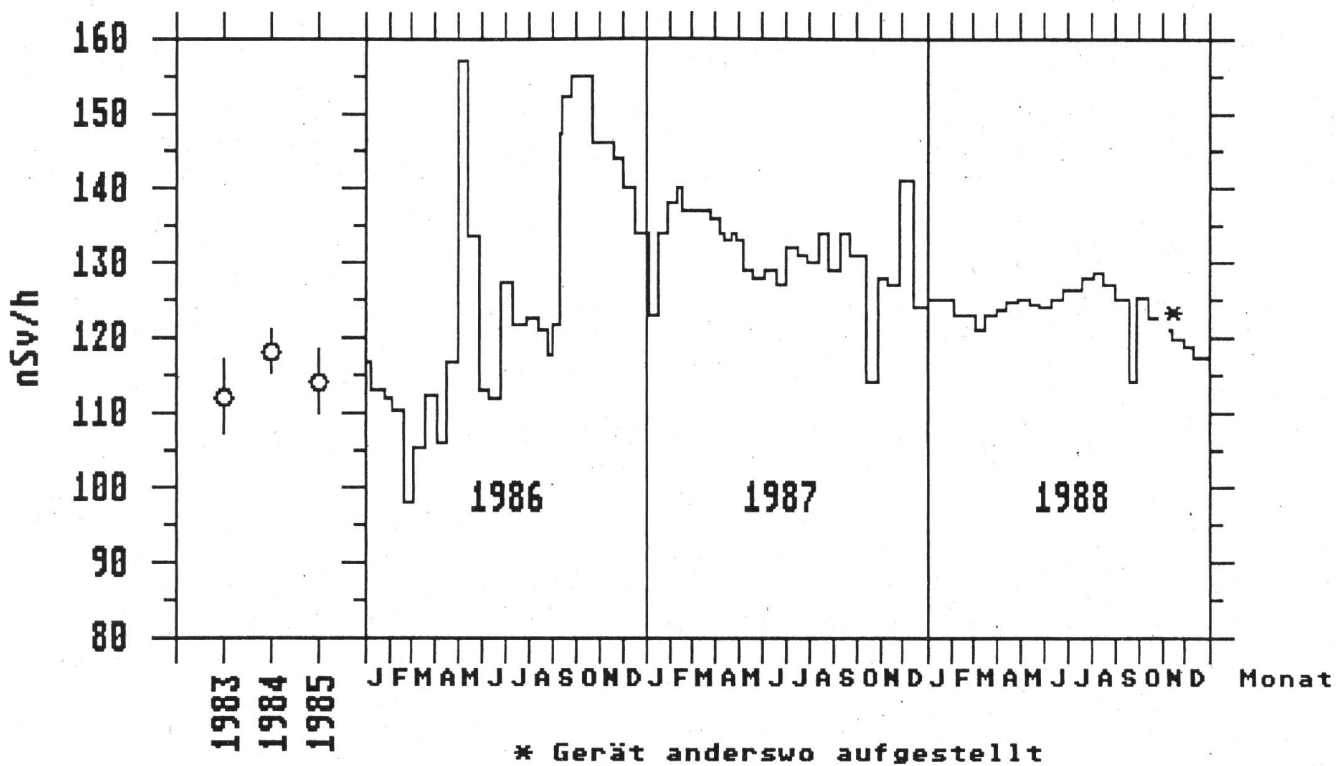


Fig.4.9: Ortsdosisleistung gemessen mit  
Ionisationskammer NIEDERGÖSGEN (UMGEBUNG KKG)

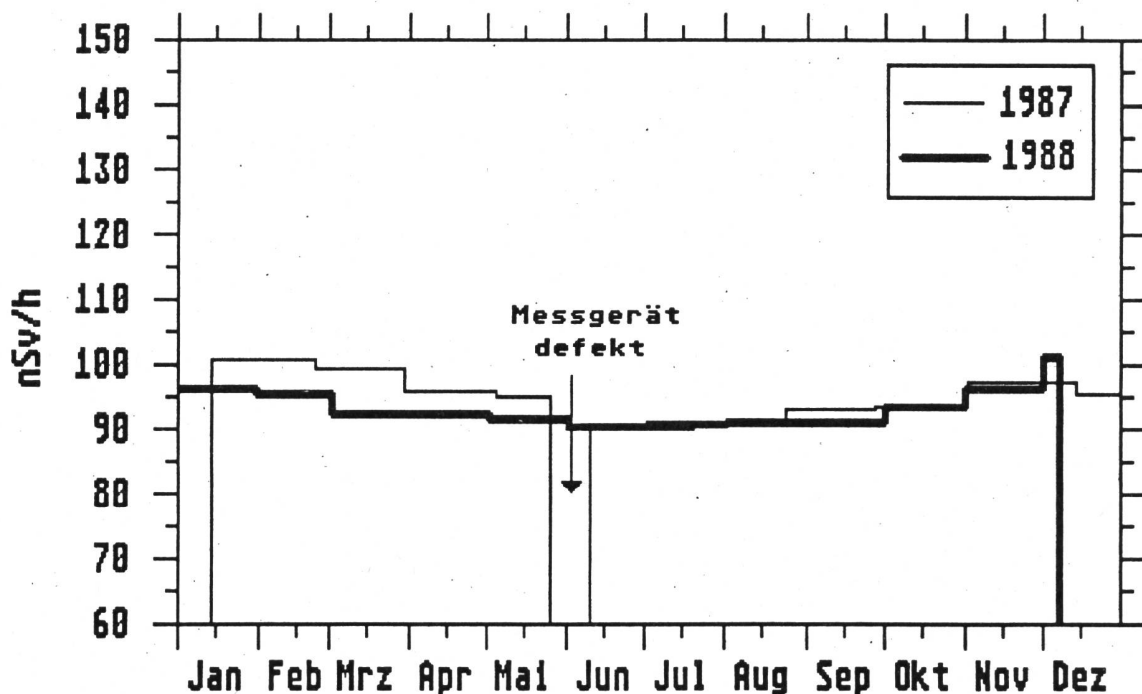


Fig.4.10: Ortsdosisleistung gemessen mit Szintillationendetektor  
Wasserkraftwerk BEZNAU (UMGEBUNG KKB)

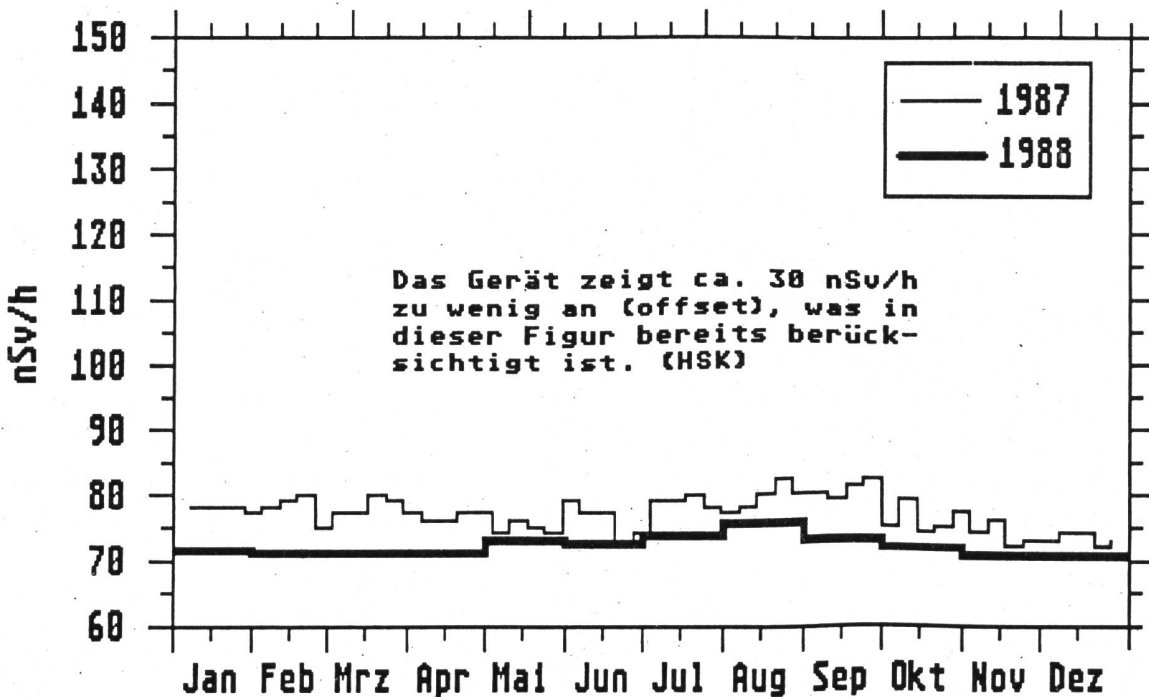


Fig.4.11: Ortsdosisleistung gemessen mit Ionisationskammer  
FULL PUMPWERK (UMGEBUNG KKL)

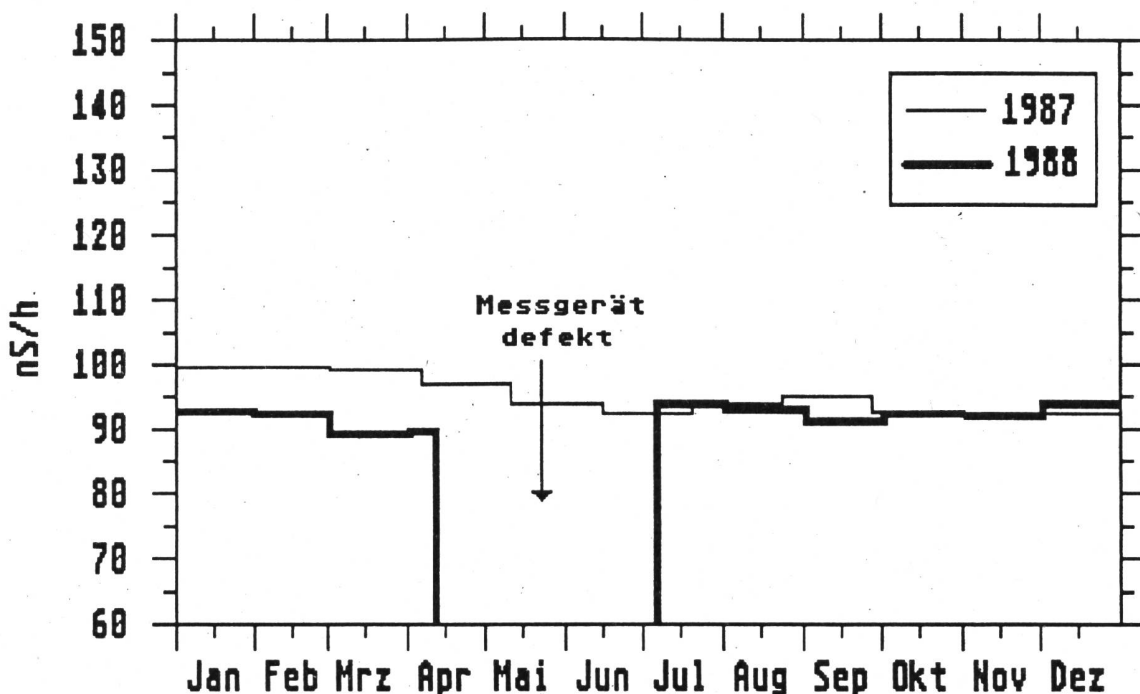
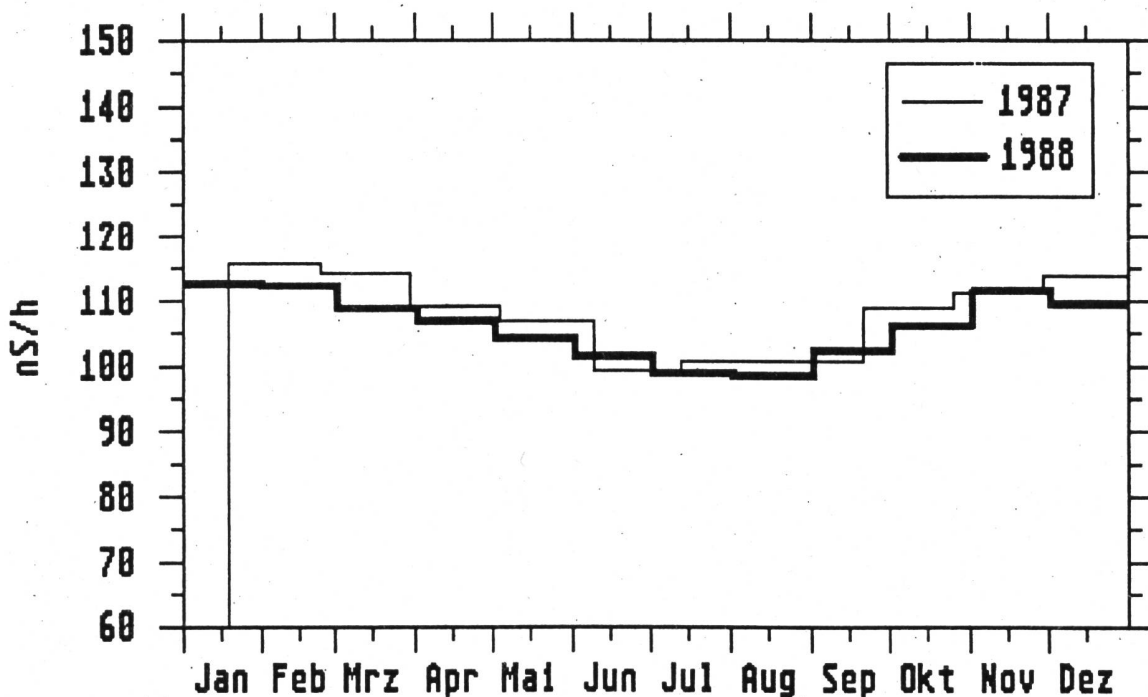
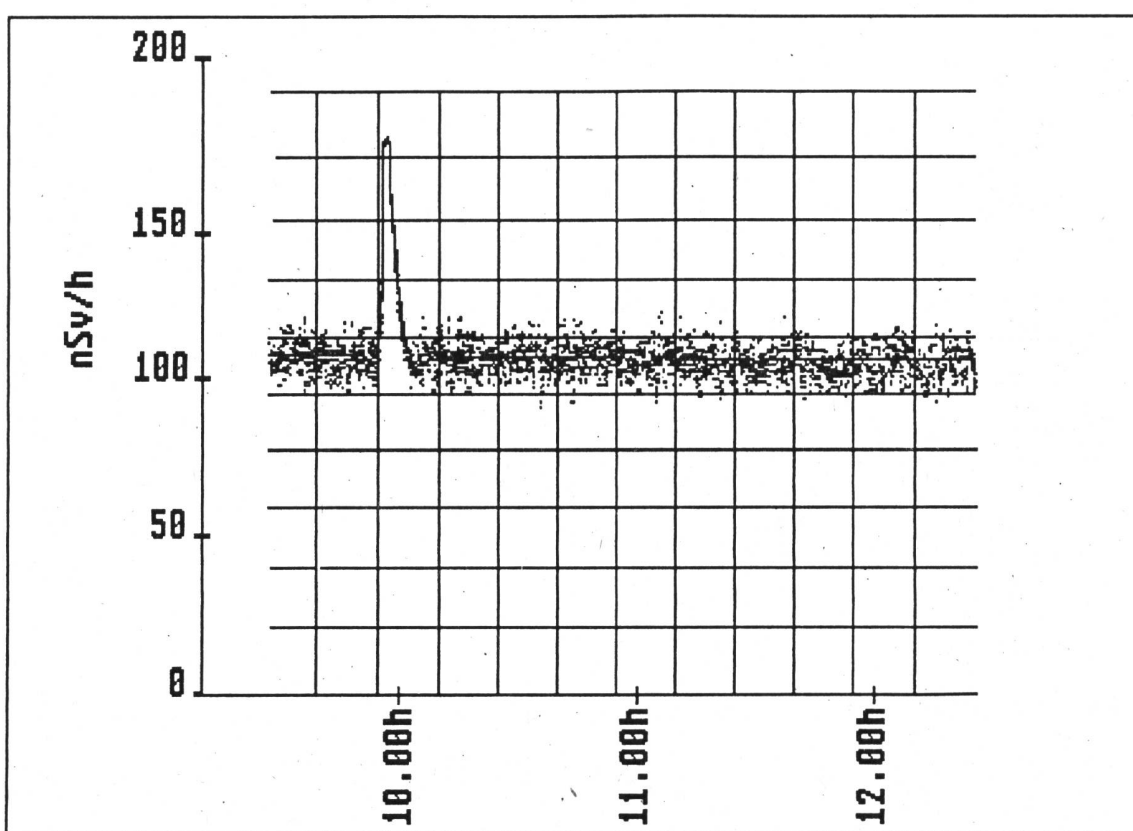


Fig.4.12: Ortsdosisleistung gemessen mit Ionisationskammer  
LEIBSTADT CHLEMMI (UMGEBUNG KKL)



**Fig. 4.13:** Ortsdosis gemessen beim KKM am 18.5.88  
(BKW-Schaltzentrale 800 m ENE des KKM)



**Fig.4.14: In situ-Messungen beim KKW Mühleberg ("Ufem Horn")  
Beiträge zur Ortsdosisleistung und Flächenbelegung  
(Messungen vom 07.06.1988)**

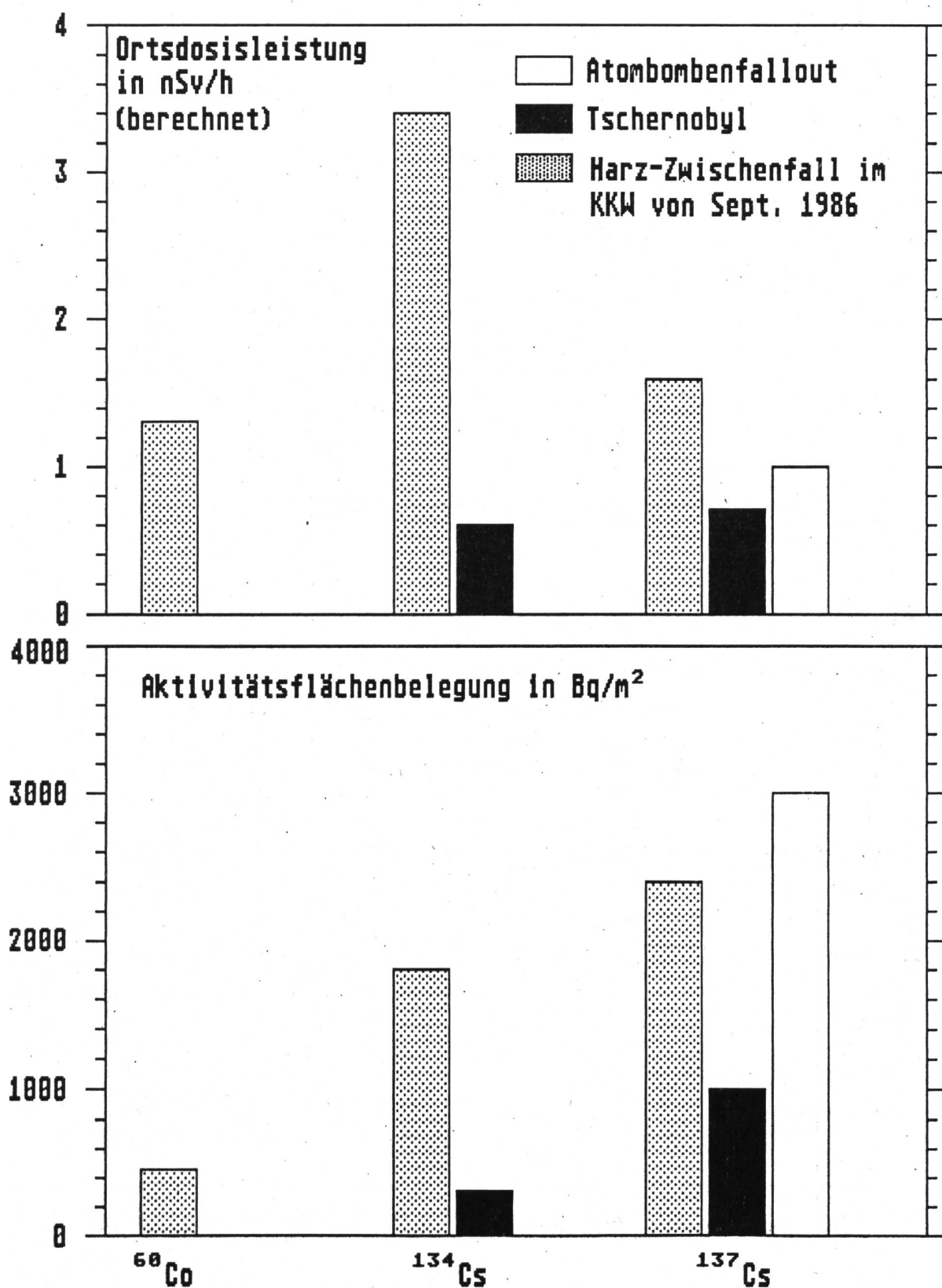


Fig.4.15: Auf Vaselineplatten abgelagerte Gesamt- $\beta$ -Aktivität

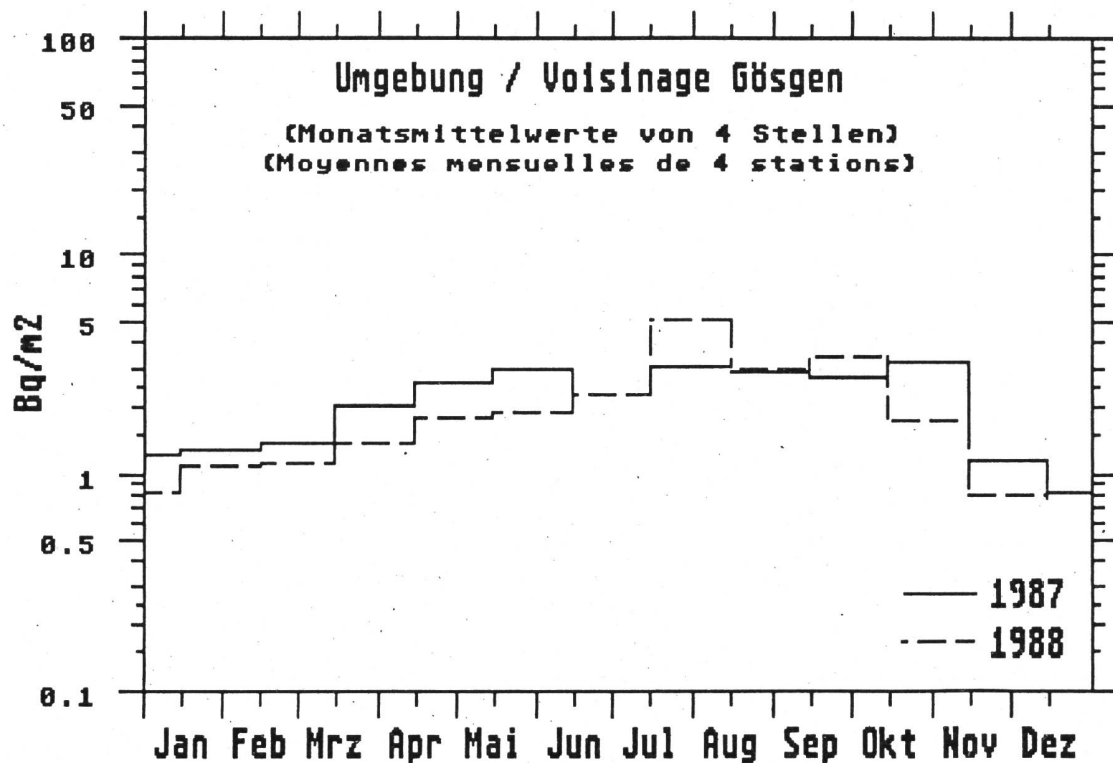


Fig.4.16: Auf Vaselineplatten abgelagerte Gesamt- $\beta$ -Aktivität

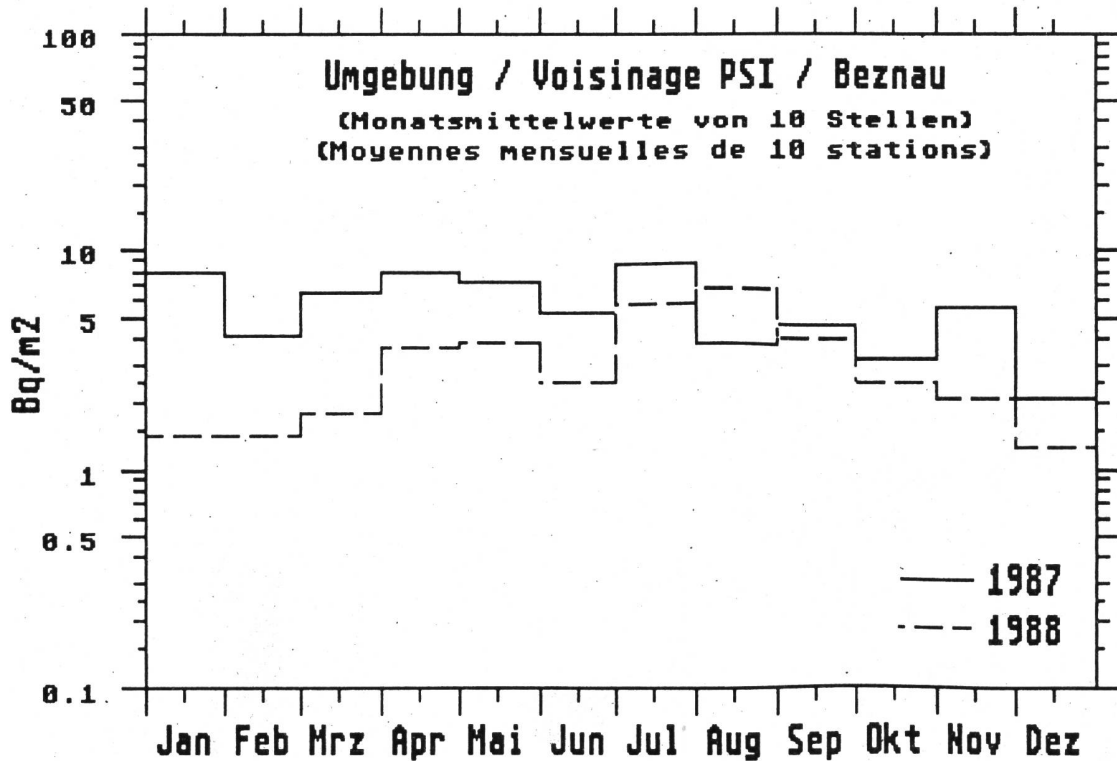


Fig.4.17: Auf Vaselinplatten abgelagerte Gesamt- $\beta$ -Aktivität

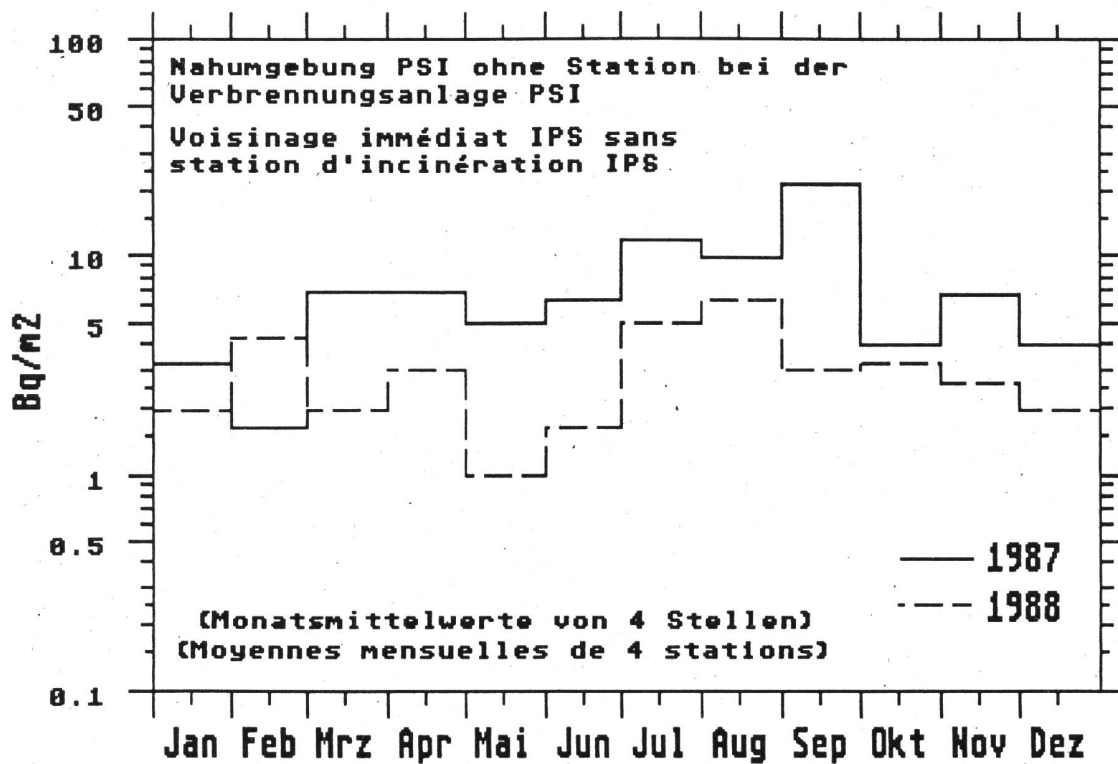


Fig.4.18: Auf Vaselinplatten abgelagerte Gesamt- $\beta$ -Aktivität

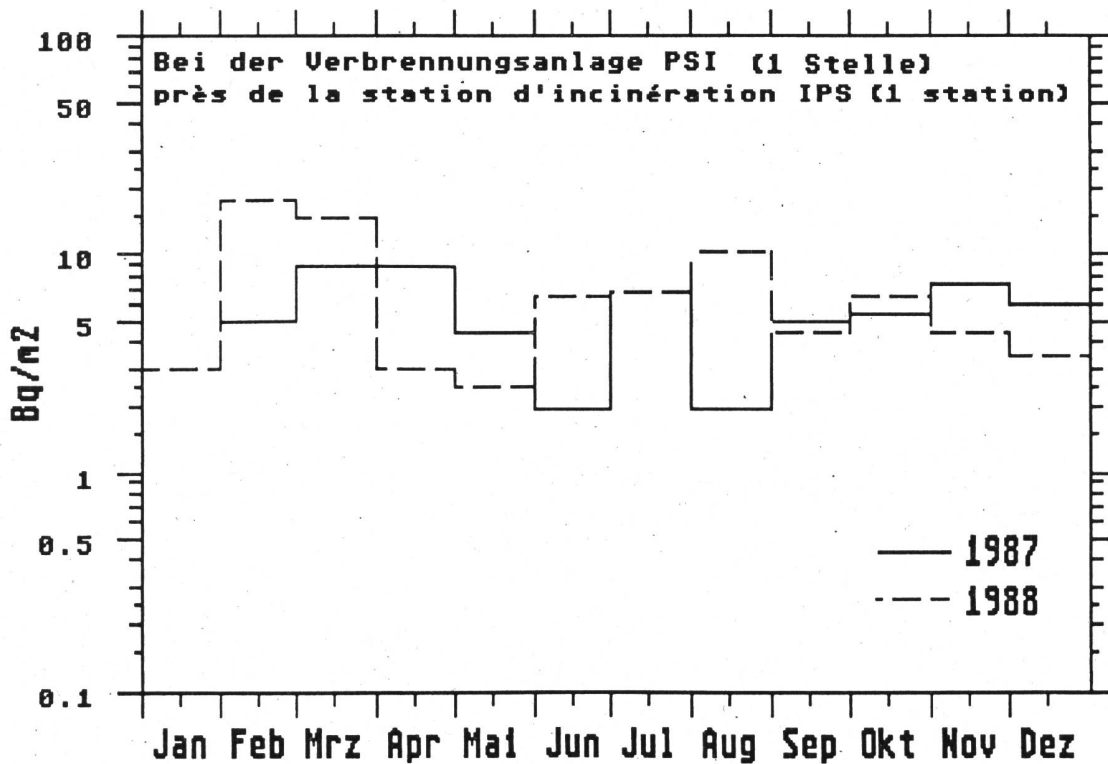


Fig.4.19: Auf Vaselinplatten abgelagerte Gesamt- $\beta$ -Aktivität

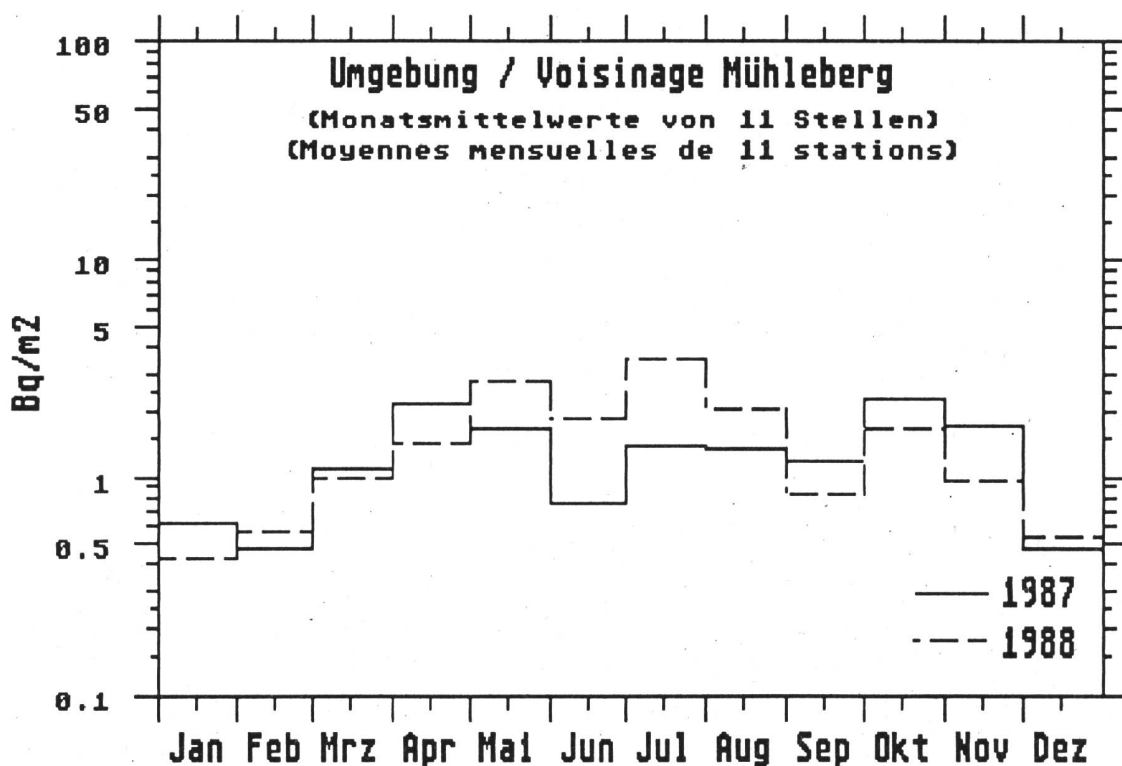


Fig.4.20: Auf Vaselinplatten abgelagerte Gesamt- $\beta$ -Aktivität

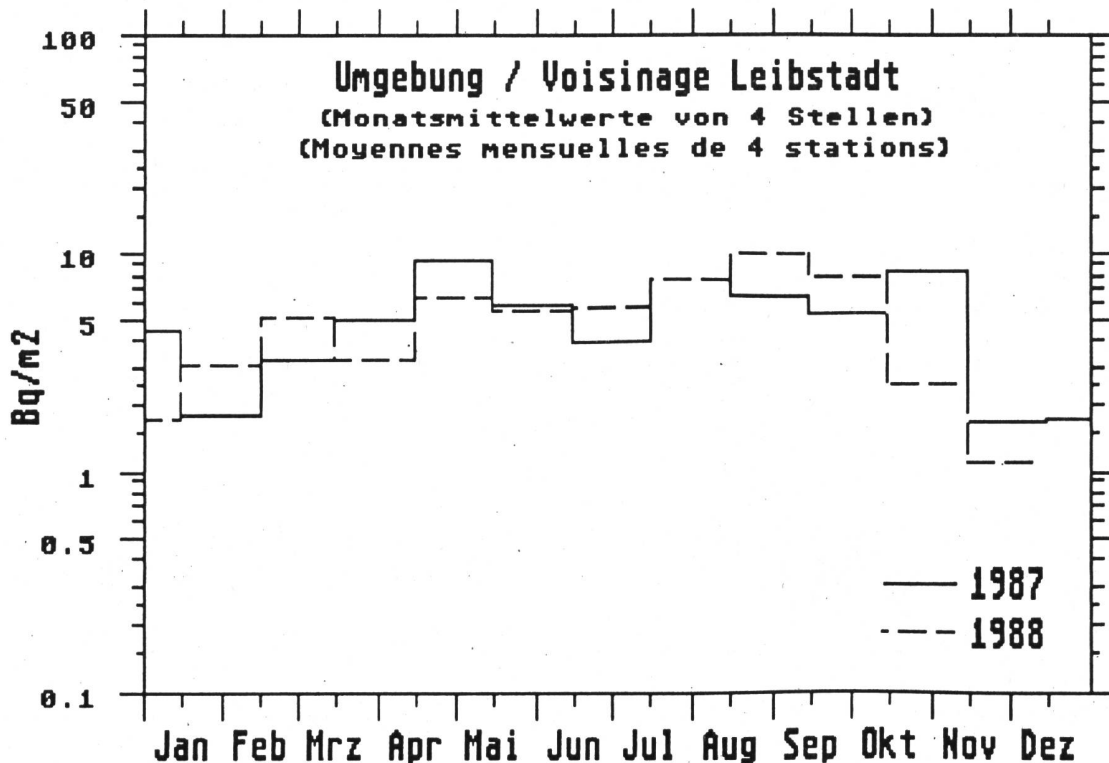


Fig.4.21: Gesamt-Beta-Akt., Grundwasser Umgebung KKW

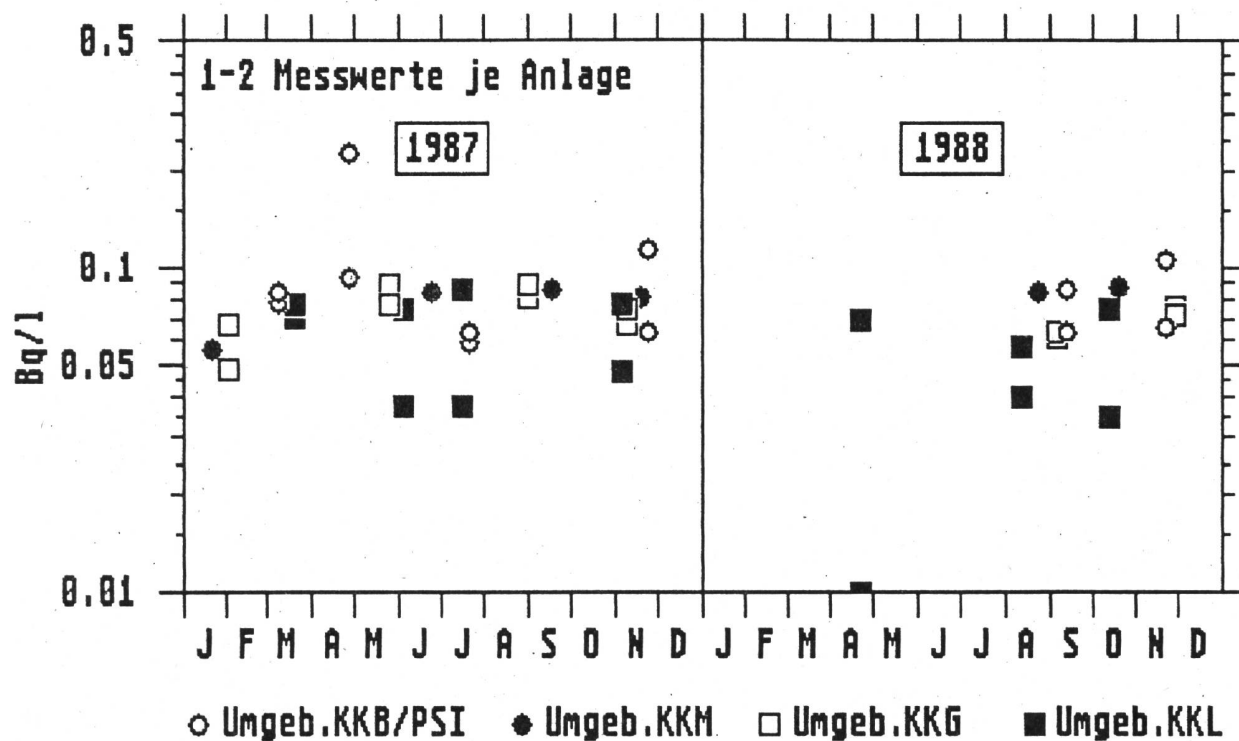


Fig.4.22: Tritium-Akt., Grundwasser Umgebung der KKW

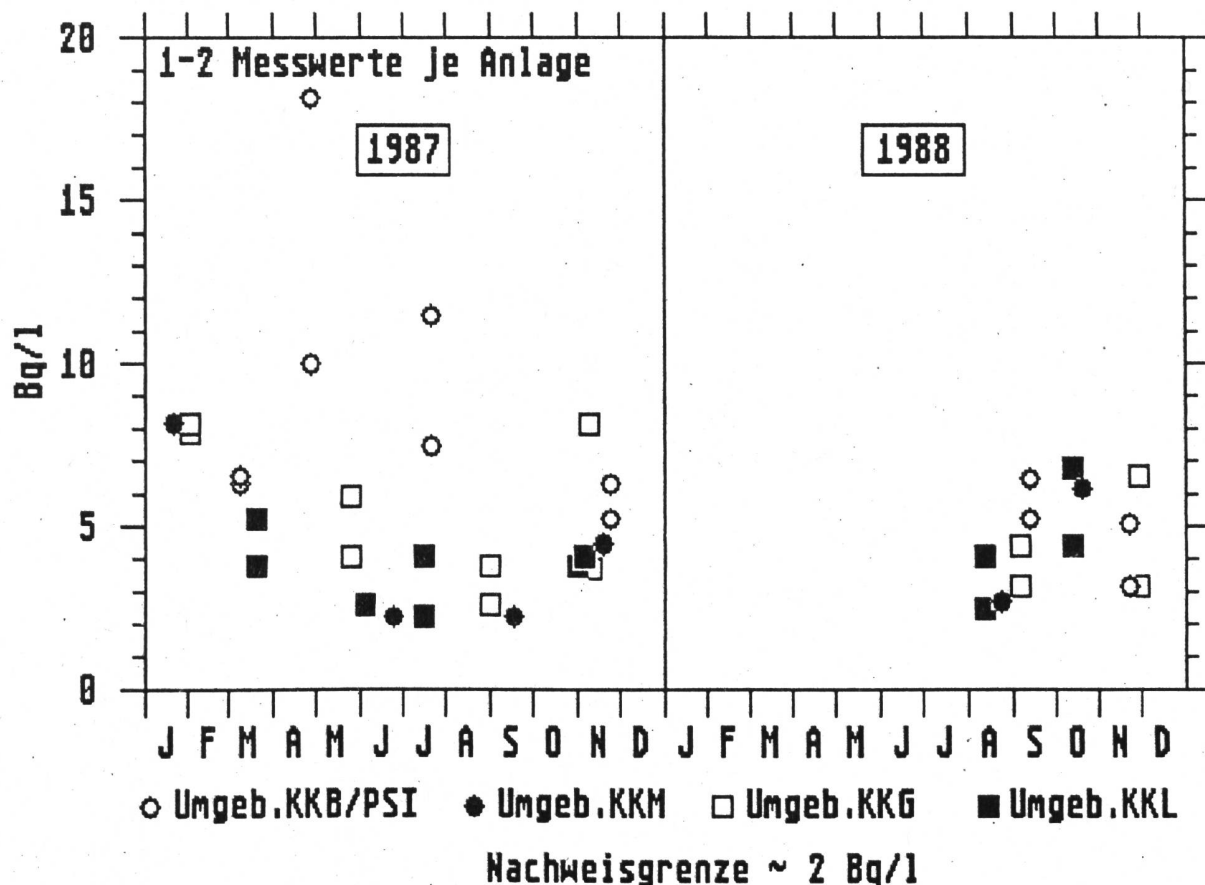


Fig.4.23: Gesamt-Beta: Schwebestoffe Umgebung KKW

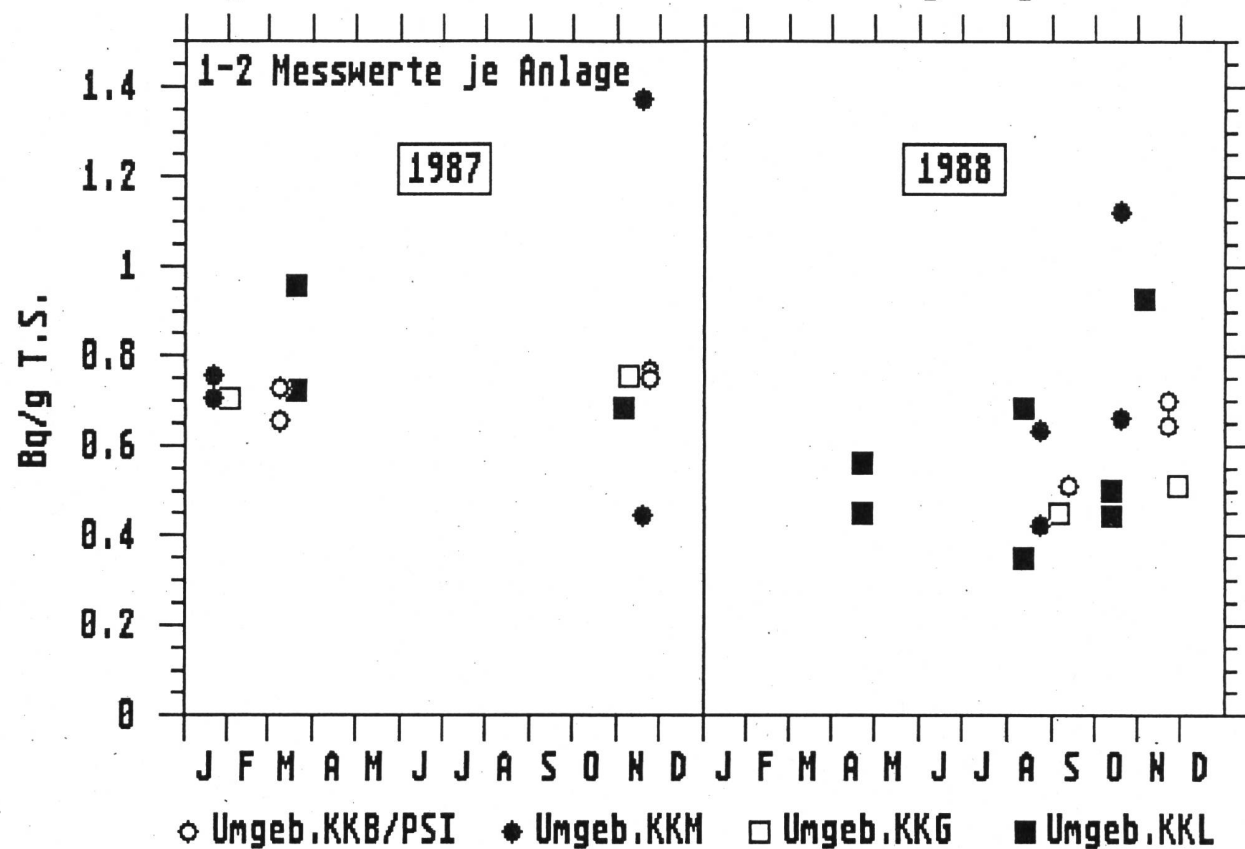


Fig.4.24: Gesamt-Beta: Flusswasser Umgebung KKW

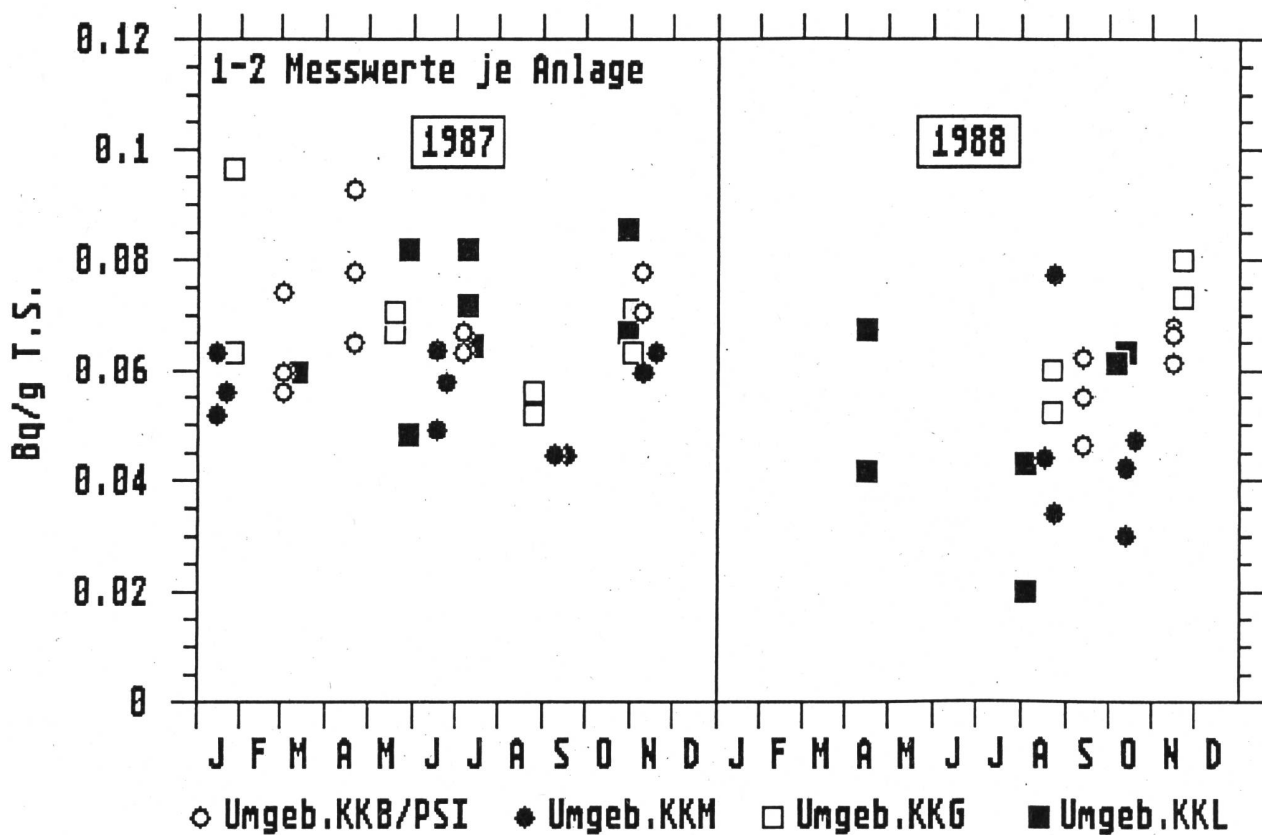


FIG.4.25: Sedimente Umgebung der KKW

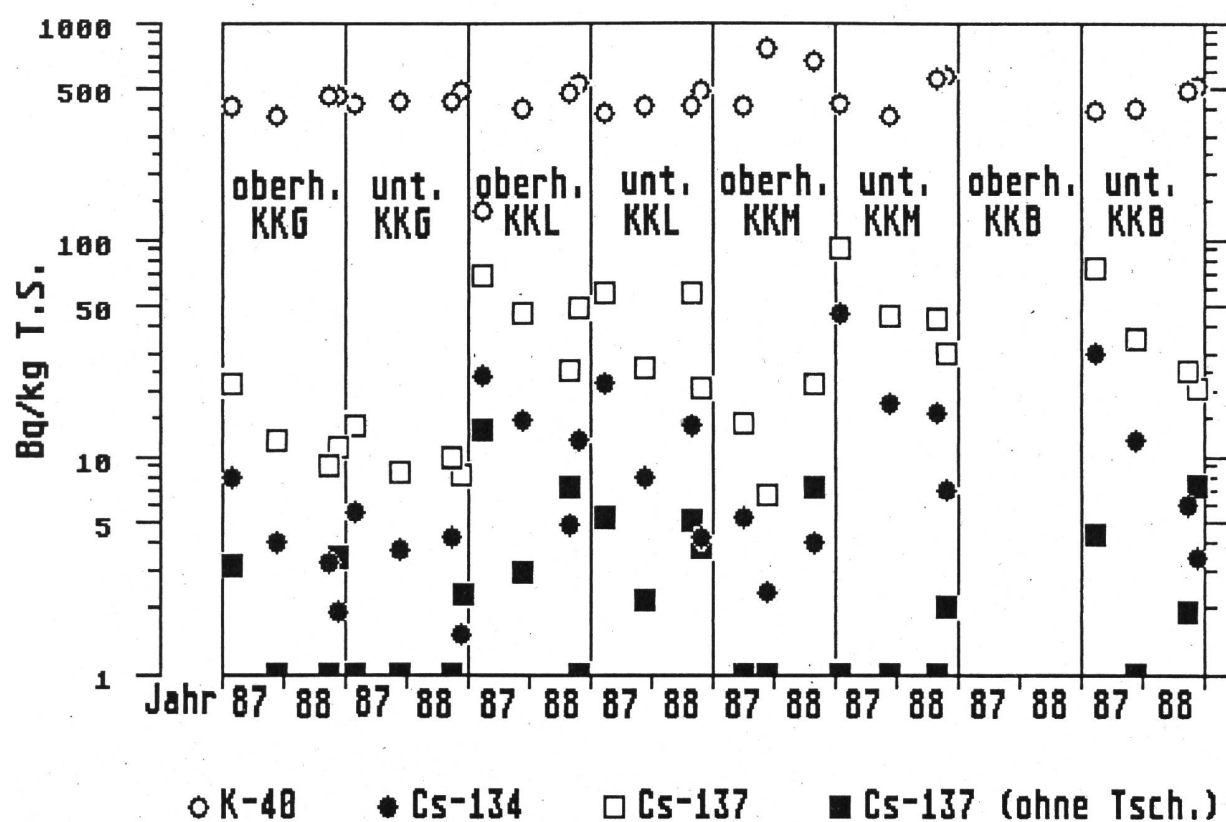


Fig. 4.26.a: C-14-Konzentration in Baumblättern  
(Referenzstationen)

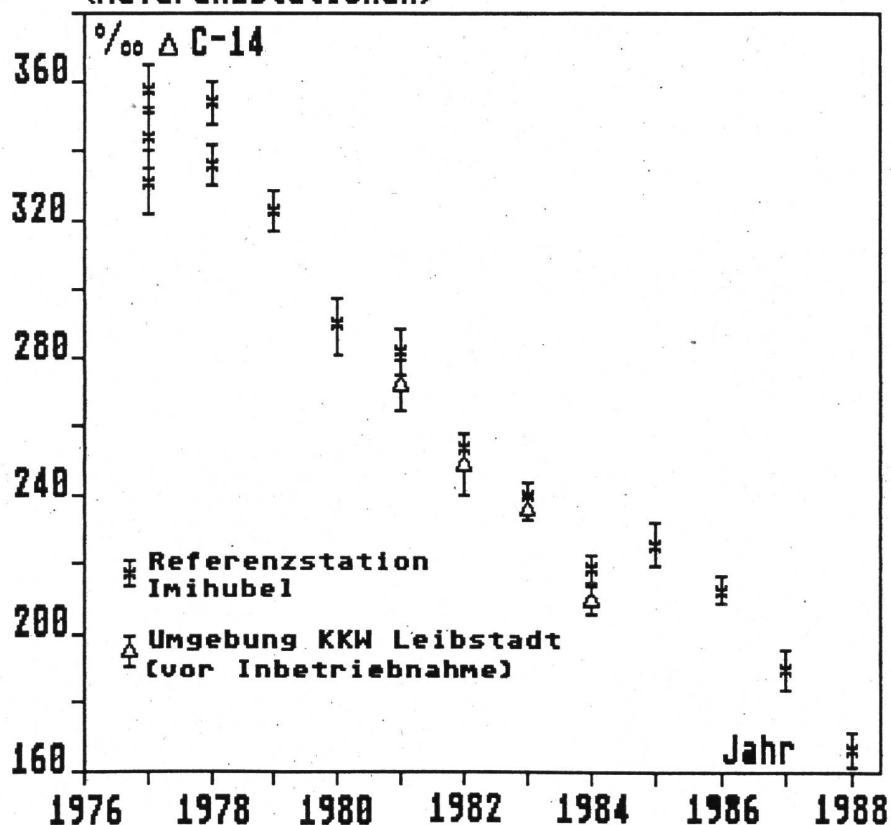


Fig. 4.26.b: C-14 in Baumblättern: Umgebung KKL  
(netto; relativ zur Referenz-Station)

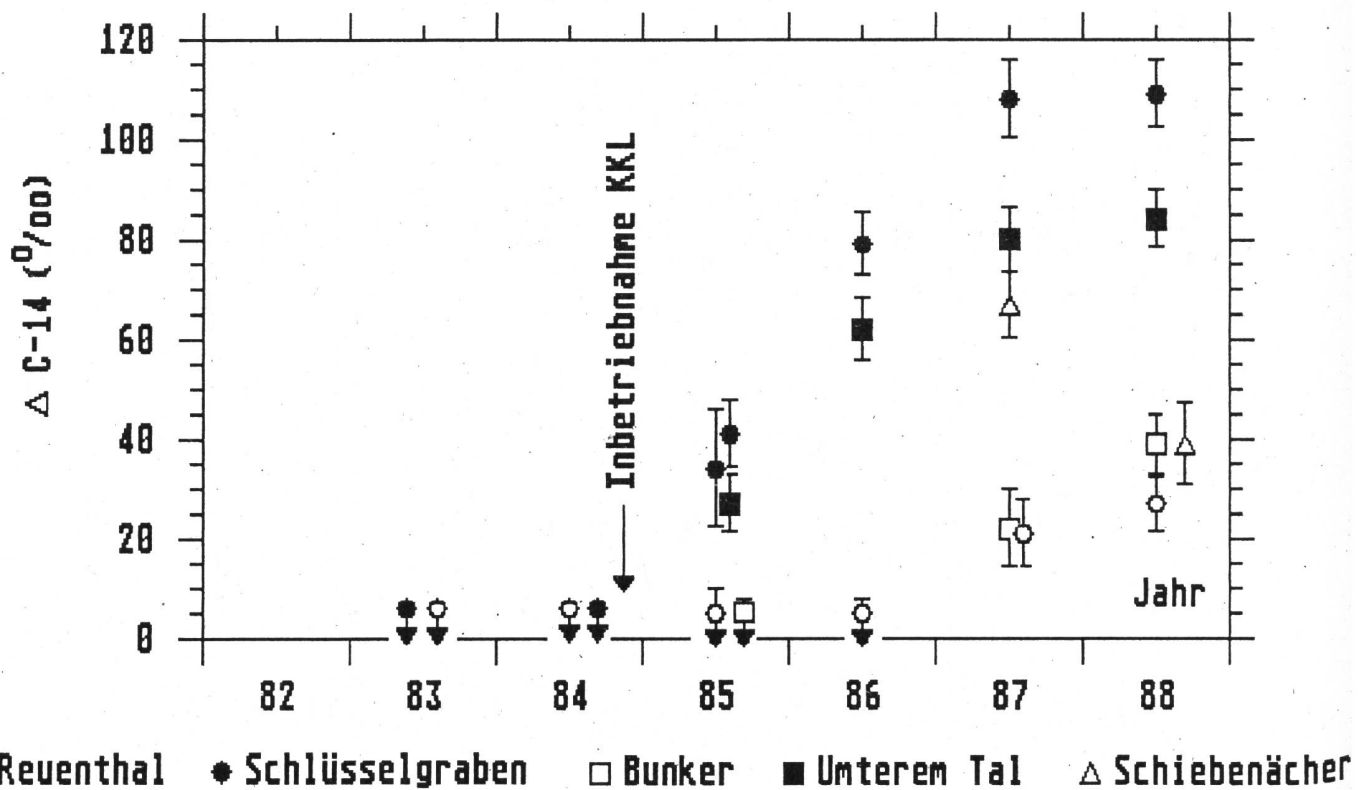


Fig. 4.26.c: Probenahmestellen für C-14-Messungen in der Umgebung KKL.

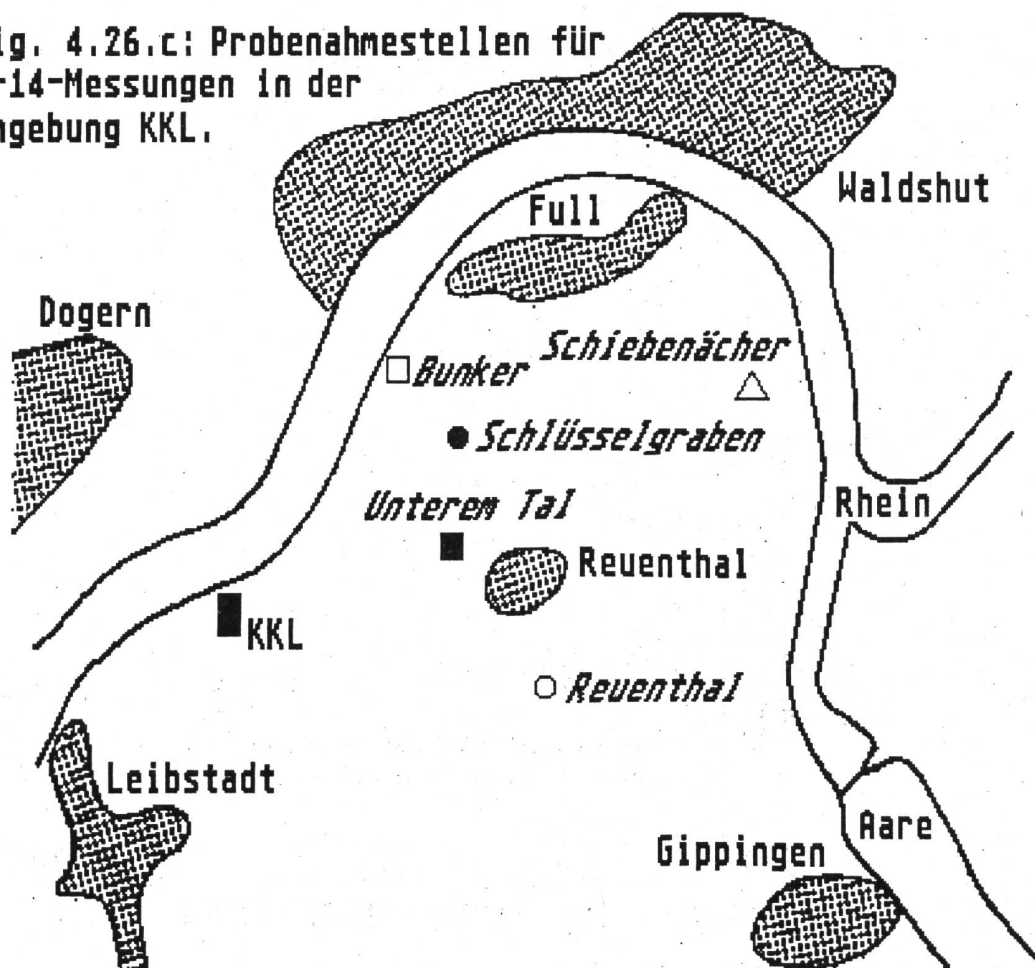


Fig. 4.26.d: C-14 in Baumblättern: Umgebung Saphir (PSI)  
(netto; relativ zur Referenz-Station)

